

کاربرد طیف نگاری تشدید مغناطیسی در بررسی تغییرات متابولیک قشر سینگولیت قدامی در بیماری آلزایمر

(Ph.D)^{*}^۱، سینا احسانی^{*}^۱(M.Sc)، علیرضا منتظرابدی^{*}^۲

۱- مرکز تحقیقات فیزیک پزشکی، دانشگاه علوم پزشکی مشهد، مشهد، ایران

۲- گروه فیزیک پزشکی، دانشکده پزشکی، دانشگاه علوم پزشکی مشهد، مشهد، ایران

تاریخ دریافت: ۱۳۹۸/۱۱/۷ تاریخ پذیرش: ۱۳۹۹/۲/۲۸

alireza.motazerabadi@gmail.com

* نویسنده مسئول، تلفن: ۰۵۱-۰۲۲۵-۲۸۰۰

چکیده

هدف: بیماری آلزایمر (Alzheimer's disease, AD) شایع‌ترین علت دماسن در سرتاسر جهان است. اختلال شناختی خفیف اغلب مرحله‌ی مقدماتی بیماری آلزایمر است. بیش‌تر بیماران دچار اختلال شناختی خفیف مستعد تغییرات پاتولوژیک جهت ایجاد بیماری آلزایمر هستند و با نوخ سالانه ۱۵ درصد افراد درگیر این بیماری دچار بیماری آلزایمر می‌شوند. شواهد فزاینده نشان می‌دهد که تغییرات غیرمتقارنی در سمت راست و چپ مغز در مراحل ابتدایی بیماری آلزایمر اتفاق می‌افتد. با این حال، ویژگی‌های تغییرات غیرمتقارن در قشر سینگولیت قدامی (Anterior Cingulate cortex, ACC) هنوز روشن نیست. از این رو در این مطالعه تغییرات غیرمتقارن چپ-راست متابولیت‌ها در قشر سینگولیت قدامی بررسی شد.

مواد و روش‌ها: بر روی ۱۴ مورد بیمار دچار آلزایمر خفیف که معیارهای بیماری آلزایمر NINDS-ADRDA را برآورده می‌کردند، ۱۲ مورد اختلال شناختی خفیف مطابق با معیارهای کلینیک مرکز پژوهش بیماری آلزایمر مایو و ۱۵ مورد کنترل (NC)، طیف نگاری تشدید مغناطیسی پروتون (¹H-MRS)، به منظور اندازه‌گیری نسبت‌های mI/Cr، Cho/Cr، NAA/Cr، NAA/mI در ACC به صورت دو طرفه انجام گرفت. اطلاعات طیف‌نگاری تشدید مغناطیسی را توسط تی-تست جفت شده آنالیز شد تا عدم تقارن اطلاعات متابولیک ACC سمت چپ و راست را تایید شود.

یافته‌ها: در آلزایمر، تفاوت معنی‌داری در نسبت mI/Cr بین ACC راست و چپ وجود داشت ($P < 0.001$)، در اختلال شناختی خفیف نیز یک تفاوت معنی‌دار در نسبت mI/Cr بین ACC چپ و راست وجود داشت ($P < 0.001$). در گروه کنترل، تفاوتی در نسبت متابولیت‌های Cho/Cr، NAA/Cr و mI/Cr وجود نداشت.

نتیجه‌گیری: عدم تقارن چپ-راست ACC در mI/Cr ممکن است یک نشانگر زیستی مهم از بیماری آلزایمر خفیف باشد.

واژه‌های کلیدی: طیف نگاری تشدید مغناطیسی، بیماری آلزایمر، اختلال شناختی

همراه با بیماری آلزایمر در داخل بدن، تصویربرداری تشدید مغناطیسی (MRI) ساختاری است. با این حال، اندازه‌های مربوط به آتروفی مغز یا تصاویر ساختاری از MRI معمولاً معنکس‌کننده‌ی مراحل نسبتاً تاکیری از آسیب نورونی است و ممکن است برای شناسایی تغییرات نوروپاتولوژیک مناسب نباشد. از این‌رو، علاوه بر MRI ساختاری، طیف‌نگاری تشدید مغناطیسی (MRS) که از ابزارهای پیشرفته تصویربرداری تشدید مغناطیسی است برای مطالعات علمی فرایندهای پاتوفیزیولوژیک زمینه‌ای ایجاد بیماری آلزایمر پذیرفته شده‌اند [۸,۹].

طیف‌نگاری تشدید مغناطیسی پروتون (¹H-MRS) یک فناوری مهم برای بررسی عملکرد مغز انسان می‌باشد که می‌تواند

مقدمه

بیماری آلزایمر (Alzheimer's Disease, AD) شایع‌ترین علت دماسن و مشکلات در حال رشد مرتبط با سلامتی است. بیماری آلزایمر بیش از ۳۵/۶ میلیون فرد را در جهان تحت تأثیر قرار می‌دهد [۱] که انتظار می‌رود تا سال ۲۰۵۰ سه برابر شود [۲]. با این حال، مکانیزم‌های زمینه‌ای بروز بیماری آلزایمر باید کاملاً روشن شوند و هیچ درمان مؤثری علیه بیماری آلزایمر در پزشکی کنونی وجود ندارد [۳]. از این‌رو، تشخیص سریع بیماری آلزایمر یک هدف مهم است [۴]. تصویربرداری عصبی به شکل فزاینده‌ای در مطالعه و تشخیص بالینی بیماری آلزایمر اهمیت پیدا کرده است [۵,۶]. فناوری تصویربرداری عصبی رایج مورد استفاده برای بررسی تغییرات ساختاری و آسیب نورونی

اغلب مرحله‌ی مقدماتی برای بیماری آلزایمر است [۲۸]، و سالانه ۱۵ درصد از افراد دچار اختلال شناختی خفیف ممکن است به بیماری آلزایمر دچار شوند [۲۹]. از این‌رو، اختلال شناختی خفیف اغلب به عنوان یک هدف مناسب برای تشخیص سریع بیماری آلزایمر و برای مداخلات درمانی در نظر گرفته می‌شود. هدف این مطالعه بررسی قشر سینگولیت قدامی با استفاده از MRS می‌باشد تا تغییرات متابولیک نامتقارن که با پیشرفت بیماری آلزایمر رخ می‌دهد را بررسی کند.

مواد و روش‌ها

۱۴ بیمار دچار بیماری آلزایمر خفیف، ۱۲ بیمار دچار اختلال شناختی خفیف و ۱۵ نمونه کنترل از تابستان سال ۱۳۹۷ تا تابستان ۱۳۹۸ در بیمارستان قائم مشهد، استان خراسان رضوی انتخاب شدند. همه‌ی موارد وارد شده به مطالعه در بیماری آلزایمر، تشخیص دمانس به دلیل بیماری آلزایمر را برآورده کردند؛ راهنمایی موسسه ملی آلزایمر به منظور تشخیص بیماری آلزایمر احتمالی در نظر گرفته شد [۳۰]. امتیازات در محدوده‌ی ۲۰ تا ۲۴ در آزمون MMSE و امتیاز ۱ در رتبه‌بندی دمانس بالینی (CDR) بود.

بیماران اختلال شناختی خفیف توسط معیارهای مرکز پژوهش بیماری آلزایمر کلینیک مایو توسط نوپمن و همکاران تشخیص داده شدند: «الف). وجود یک شکایت جدید از حافظه فرد که ترجیحاً توسط یک فرد آگاه تائید شود؛ ب). شواهد عینی در اختلال حافظه کوتاه‌مدت؛ ج). نقص در عملکردهای طبیعی شناختی کلی؛ د). عدم ایجاد تداخل با کار، فعالیت‌های اجتماعی معمول یا سایر فعالیت‌های زندگی روزمره؛ ه). عدم دمانس.» [۲۸] با امتیازاتی بین ۲۸-۲۴ در MMSE و ۰/۵ در DR. همه‌ی بیماران راست-دست بودند، بیش از ۶ سال تحصیلات داشتند و سن‌شان بین ۶۵-۸۰ سال بود. ما بیمارانی با سابقه‌ی اختلال نورولوژیک، بیماری روانی و سوءصرف الکل را از مطالعه خارج کردیم. همچنین بیمارانی که دو یا بیش تر ضایعه‌ی با قطر ≥ 5 mm یا بیش تر از ۴ ضایعه با قطری بین ۵-۰ mm در تصویر MRI با اکوی دوگانه داشتند نیز از مطالعه خارج شدند. همه‌ی شرکت‌کنندگان (یا نمایندگان قانونی‌شان) رضایت آگاهانه‌ی مکتبشان را ارائه داده بودند. پرتوکل پژوهش توسط کمیته‌ی اخلاق دانشگاه علوم پزشکی مشهد (کد طرح: ۹۸۰۴۸۸) تایید شده است.

تصویربرداری تشید مغناطیسی (MRI) و طیف‌نگاری تشید مغناطیسی (MRS). تصویربرداری تشید مغناطیسی و طیف‌نگاری تشید مغناطیسی با یک مگنت ۱/۵ تسلا (زیمنس مگنتوم) با استفاده از یک کویل سر آرایه فازی ۸ کاتالی انجام

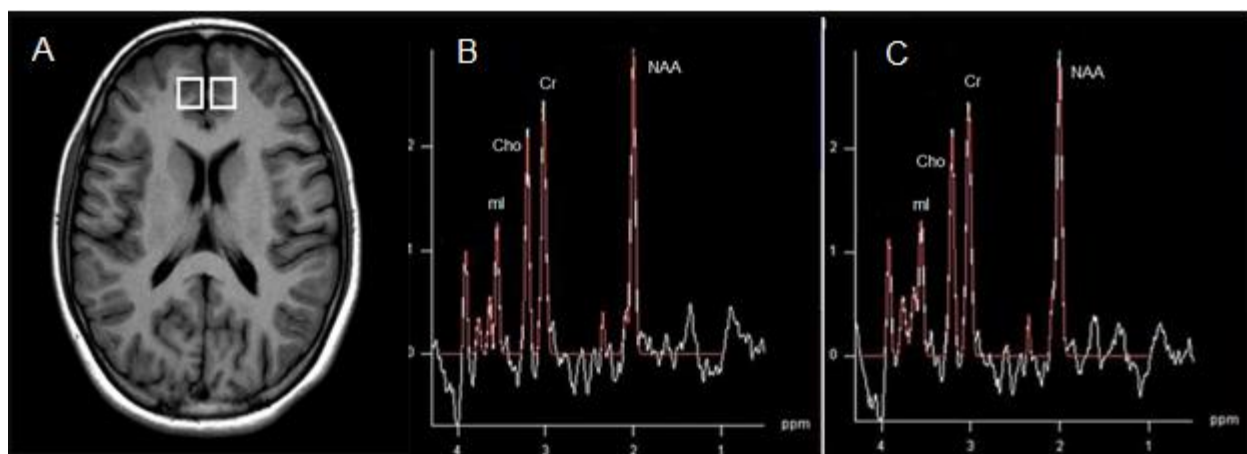
سطوح متابولیت‌های نوروشیمیایی را اندازه‌گیری کند که منعکس‌کننده‌ی درجه‌ی پاتولوژی در مغز قبل از تغییرات ساختاری است. از جمله این متابولیت‌ها می‌توان به ان-استیل آسپارتات (NAA) به عنوان نشانگر تراکم نورونی، میو-اینوژیتول (mI) به عنوان نشانگر تکثیر گلیال، کولین (Cho) که نشان‌دهنده‌ی تغییر و تبدیل غشای سلوالی است و کراتین (Cr) به عنوان نشانگری از متابولیسم و مقدار مرجع اندازه‌گیری اشاره نمود. طیف‌نگاری تشید مغناطیسی برای تشخیص سریع و تشخیص افتراقی بیماری آلزایمر استفاده شده است [۱۰]. طیف‌نگاری تشید مغناطیسی ناحیه‌ی هیپوکامپ در بیماران بیماری آلزایمر و اختلال شناختی خفیف کاهش در NAA و افزایش mI را نشان داده است در حالی که کاهش نسبت NAA/Cr پیش‌بینی‌کننده‌ی تبدیل اختلال شناختی خفیف به بیماری آلزایمر در آینده بوده است [۱۱، ۱۰]. تغییرات متابولیت ناحیه‌ای در افراد حائز شرایط پری نرمال و کسانی با اختلال شناختی خفیف و بیماری آلزایمر، یک فرایند تدریجی دژنراسیون مغز را نشان می‌دهد که در ابتدا سمت چپ هیپوکامپ را تحت تأثیر قرار می‌دهد در حالی که سمت راست را تحت تأثیر قرار نمی‌دهد که منجر به تغییرات نامتقارن در طیف‌نگاری تشید مغناطیسی می‌شود [۱۳]. تغییرات مشابه در تایید عدم تقارن هیپوکامپ در مطالعات مبتنی بر مورفو‌لوژی نیز گزارش شدند [۱۴-۱۷]؛ بنابراین، عدم تقارن تغییرات متابولیک در هیپوکامپ ممکن است علامت مشخصه‌ی مراحل اولیه‌ی بیماری آلزایمر باشد.

قشر سینگولیت ساختار دیگری در سیستم لیمبیک است. قشر سینگولیت قدامی (ACC) به نظر در مراحل خلیلی ابتدایی بیماری آلزایمر دخیل است. برای مثال، در قشر سینگولیت قدامی در بیماران بیماری آلزایمر نسبت mI/Cr افزایش یافته در حالی که NAA/Cr بدون تغییر باقی ماند [۲۳]. در مقابل، مطالعه‌ی دیگری تفاوتی در Cr و mI/Cr و NAA/Cr بین گروه بیماری آلزایمر و گروه کنترل (NC) گزارش نکرد [۲۴]. یک بررسی که اخیراً انجام شده است تغییرات متابولیت‌ها در قشر سینگولیت قدامی را به صورت افزایش نسبت mI/Cr گزارش کرده است و ارتباط آن با پیشرفت بیماری آلزایمر نشان داده شده است که تأکید می‌کند پیشرفت نوروپاتولوژیک بیماری آلزایمر ممکن است در امتداد محور قدامی-خلفی نامتقارن باشد خصوصاً با توجه به در نظر گرفتن قشر سینگولیت [۲۵].

بنابراین، تغییرات متابولیت نامتقارن چپ-راست در قشر سینگولیت قدامی طی پیشرفت پاتولوژی بیماری آلزایمر از طریق تبدیل اختلال شناختی خفیف به بیماری آلزایمر می‌تواند از لحاظ علمی یک فاکتور مهم باشد. اختلال شناختی خفیف

(TR/TE=۶۰۰/۹۵) به منظور تعیین وکسل مورد نظر در اندازه 10×10 میلی متر تهیه شد. وکسل‌های قرارگرفته بر روی سینکولیت قدامی، قشر سینکولیت و قشر پره فرونتال کناری را در برگرفت (تصویر ۱). زمان کلی اسکن شامل پروتکلهای MRI و MRS تقریباً ۳۱ دقیقه است. اطلاعات طیف‌ها با استفاده از بسته‌ی پس برداش طیف‌نگاری سینگو (Syngo) مورد پردازش قرار گرفت. محدوده‌ی فرکانس ppm ۰/۴-۱/۳ میلی ثانیه است. در نظر گرفته شد. نواحی پیک NAA, mI, Cr و mI پیک نسبت به Cr در هر طیف بیان شدند (تصویر ۱). جای‌گذاری وکسل برای طیف‌نگاری و همه‌ی آنالیز داده‌ها توسط یک رادیولوژیست که نسبت به تشخیص هر بیمار بی خبر بود انجام شد.

شد. از پدهای فومی و هدفون به منظور کاهش حرکت بیمار و کاهش صدای مغنت و راحتی بیمار استفاده گردید. شیمینگ پیشرفته میدان مغناطیسی به طور خودکار اعمال گردید. یک پروتکل تک وکسل مبتنی بر تکنیک PRESS استفاده شد تا طیف‌نگاری تشید مغناطیسی همراه با سرکوب سیگال آب به طور همزمان از ناحیه‌ی سینکولیت قدامی چپ و راست به دست آید. پارامترهای مورد استفاده عبارتند از: زمان اکو (TE): ۲۵ میلی ثانیه، زمان تکرار (TR): ۱۵۰۰ میلی ثانیه و تعداد تصویرگیری: ۴، حالت «وزن‌دهی شده» برای تکمیل فضای K استفاده شد، اندازه ماتریکس: 16×16 بدون درون‌بایی، VOI=۸۰ mm, FOV=mm ۱۶۰. ساختی متر، حالت کدگذاری فاز CHESS برای سرکوب آب استفاده شد. تصاویر T2 گرادیان اکو سازیتال، کرونال و عرضی (



تصویر ۱ A. تصویر اکزیال جهت تعیین موقعیت وکسل‌های مورد نظر که در قشر سینکولیت قدامی چپ و راست قرارگرفته اند. اندازه وکسل 10×10 میلی متر تعیین شده است. B. طیف آزمون طیف نگاری تشید مغناطیسی از قشر سینکولیت قدامی چپ بیمار آزالیمری- C. طیف آزمون طیف نگاری تشید مغناطیسی از قشر سینکولیت قدامی راست بیمار آزالیمری

امتیازات MMSE ($F=78/428$, $P<0/0001$) را آشکار کرد که با کاهش معنی‌دار در امتیازات MMSE در گروه بیماری آزالیمر در مقایسه با گروه کنترل ($P<0/0001$) و همچنین گروه اختلال شناختی خفیف بود ($P<0/001$). امتیازات MMSE همچنین به شکل معنی‌داری بین گروه‌های اختلال شناختی خفیف و کنترل متفاوت بود ($P<0/001$).

در گروه کنترل، هیچ تفاوتی در مقدار نسبت متابولیت‌های NAA/Cr, NAA/mI, mI/Cr و Cho/Cr بین قشر سینکولیت قدامی چپ و راست وجود نداشت ($P>0/05$) (جدول ۲). در گروه اختلال شناختی خفیف، تنها mI/Cr به شکل معنی‌داری بین قشر سینکولیت قدامی چپ و راست تفاوت داشت ($P<0/05$) ($t=5/3248$) و هیچ تفاوتی بین قشر سینکولیت قدامی چپ و راست برای متابولیت‌های دیگر وجود نداشت ($P>0/05$)

آنالیز داده‌ها. آنالیزهای آماری با استفاده از بسته‌ی آماری SPSS برای ویندوز نسخه ۱۵ انجام شد. مشخصه‌های دموگرافیک و بالینی در تمام گروه‌های بیماری آزالیمر، اختلال شناختی خفیف و گروه کنترل توسط آزمون ANOVA یک‌طرفه ارزیابی شد و توسط آزمون‌های تفاوت معنی‌دار حداقلی (LSD) دنبال شد. تفاوت‌ها بین قشر سینکولیت قدامی چپ و راست در متابولیت‌ها نسبت به NAA/mI , NAA/Cr , Cr (NAA/mI , mI/Cr و Cho/Cr) توسط آزمون تی تست جفت شده آزمایش شد [۳۲]. معنی‌داری آماری در $P<0/05$ تنظیم شد.

نتایج

اطلاعات دموگرافیک و بالینی گروه‌های مطالعه در جدول ۱ فهرست شده‌اند. تفاوت‌های گروهی از میانگین

سینگولیت قدامی راست چپ متفاوت بود ($P=0.04 \pm 0.18$) vs. 0.084 ± 0.13 به ترتیب؛ ($t=2/6445$, $P=0.0151$). (جدول ۲). سایر متابولیتها هیچ تفاوتی بین قشر سینگولیت قدامی راست و چپ نشان ندادند.

(جدول ۲). در گروه بیماری آزمایم، Cr/mI به صورت معنی داری بین قشر سینگولیت قدامی چپ و راست متفاوت بود ($P=0.001$) vs. 0.052 ± 0.16 به ترتیب؛ ($t=4/6082$, $P=0.004$). هم به صورت معنی داری بین قشر Cho/Cr

P value	گروه کنترل	بیماری آزمایم	اختلال شناختی خفیف	شاخص
				گروه
0.0845	۱۵ (۸/۷)	۱۴ (۷/۷)	۱۲ (۷/۵)	تعداد (مرد/زن)
0.0733	۷۲/۲ (۳/۹۵)	۷۱/۹ (۵/۰۲)	۷۴/۱ (۵/۴۵)	سن (سال)
<0.0001	۳۰/۱ (۰/۳۱)	۲۱/۶ (۲/۰۶)	۲۵/۹ (۱/۷۵)	MMSE آزمون

جدول ۱. اطلاعات دموگرافیک و بالینی گروههای مطالعه که با استفاده از آزمون ANOVA مورد بررسی قرار گرفته است (اطلاعات بر حسب میانگین به همراه انحراف معیار در پرانتز بیان شده است). MMSE: Mini-Mental State Examination.

P value	t	راست ACC	چپ ACC	نسبت های متابولیک	شاخص
					گروه
0.09687	- 0.0534	۳/۲۳ (۰/۸۱)	۳/۲۷ (۰/۸۴)	NAA/mI	گروه کنترل
0.08756	0.11810	۱/۵۹ (۰/۴۶)	۱/۶۵ (۰/۴۵)	NAA/Cr	
0.06587	- 0.4923	۰/۷۹ (۰/۱۶)	۰/۸۹ (۰/۱۳)	Cho/Cr	
0.08651	- 0.2231	۰/۶۵ (۰/۲۳)	۰/۶۳ (۰/۳۲)	mI/Cr	
0.05823	- 0.0521	۲/۶۵ (۰/۳۲)	۲/۵۶ (۰/۶۵)	NAA/mI	اختلال شناختی خفیف
0.02154	1.2456	۱/۳۵ (۰/۱۵)	۱/۴۵ (۰/۳۲)	NAA/Cr	
0.00897	1.9821	۰/۹۳ (۰/۱۰)	۰/۹۵ (۰/۱۲)	Cho/Cr	
$<0.0001*$	5.4256	۰/۵۳ (۰/۰۵)	۰/۶۱ (۰/۰۹)	mI/Cr	
0.02536	1.3251	۲/۶۵ (۰/۵۶)	۲/۸۵ (۰/۷۵)	NAA/mI	بیماری آزمایم
0.02354	1.2570	۱/۴۳ (۰/۳۰)	۱/۵۴ (۰/۳۷)	NAA/Cr	
$0.01255*$	2.7545	۰/۸۴ (۰/۱۸)	۰/۹۸ (۰/۱۳)	Cho/Cr	
$<0.0001*$	4.6874	۰/۵۲ (۰/۱۶)	۰/۸۶ (۰/۱۷)	mI/Cr	

جدول ۲. نسبت های متابولیت های نوروشیمیابی حاصل از آزمون طیف نگاری تشید مغناطیسی که با استفاده از آزمون آماری تی-تست جفت شده موردنظری قرار گرفته است. (اطلاعات بر حسب میانگین به همراه انحراف معیار در پرانتز بیان شده است). ACC: قشر سینگولیت قدامی. NAA: myo-, Cho: Choline. Cr: creatin.NAA; N-acetylaspartat.inositol

دادند کاهش معنی دار متابولیت ها در قشر سینگولیت قدامی چپ نسبت به کسانی که تبدیل بیماری صورت نگرفت، گزارش شده است [۳۴]. به علاوه، گزارش شده است که حجم سینگولیت در سمت راست در همه نواحی در بیماری آزمایم بزرگ تر بود و اختلاف های حجمی متفاوتی بین نواحی سمت چپ و راست به اثبات رسیده است [۶۴]. که این اختلاف ها برای ناحیه سری سینگولیت در بیماری آزمایم بیشتر بوده است [۳۴]. در مطالعه حاضر، ما دریافتیم که mI/Cr بهترین شاخص عدم تقارن هنگام مقایسه با NAA/mI و NAA/Cr و Cho/Cr باشد. فرایندهای پاتولوژیک پیش بالینی در بیماری آزمایم مرتبط است [۵۱]. مطالعات اولیه با استفاده از طیف نگاری تشید مغناطیسی در بیماران دچار اختلال شناختی خفیف یک افزایش در mI/Cr و عدم تغییر در سطوح NAA/Cr نشان داده است

بحث و نتیجه گیری

در مطالعه حاضر، با استفاده از طیف نگاری تشید مغناطیسی به تغییرات متابولیک معنی داری در سمت چپ و راست قشر سینگولیت قدامی در گروههای کنترل، اختلال شناختی خفیف و بیماری آزمایم دست یافتیم که نشان دهنده فرایند دژنراتیو پیش رونده است. با استفاده از تصویربرداری ساختاری، مطالعات پیشین دریافتیم که آتروفی قشر سینگولیت قدامی پیش بینی کننده تبدیل اختلال حافظه به بیماری آزمایم است که نشان می دهد این ناحیه ممکن است نسبتاً زودتر در طی دوره بیماری آزمایم تحت تأثیر قرار بگیرد [۳۳]. در یک مطالعه دیگری که بر روی تغییرات متابولیک مغز از اختلال شناختی خفیف به بیماری آزمایم برداخته شده است، در افرادی که روند تبدیل بیماری را نشان

گزارش شده است [۳۸]. NFTs و پلاک‌های آمیلوئید علائم مشخصه‌ی پاتولوژیک بیماری آزمایش هستند، مطالعات تازه نشان می‌دهد که NFTs ممکن است پیش از پاتولوژی پلاک آمیلوئید رخ می‌دهد و ممکن است نشان‌دهنده مرحله‌ی زودرس بیماری آزمایش باشد [۳۹، ۴۰]. آسیب‌پذیری قشر سینگولیت قدامی در بیماری آزمایش همچنین ممکن است مربوط به ارتباطات دوطرفه مترکم با ساختارهای لیمیک باشد که در آن پاتولوژی بیماری آزمایش شروع می‌شود [۴۱]. NFTs در بیماری آزمایش می‌تواند نواحی بهم پیوسته را تحت تأثیر قرار دهد و فرایند بیماری ممکن است در امتداد فیبرهای اتصالی گسترش یابد. پاتولوژی در قشر سینگولیت قدامی ممکن است به عنوان قطع ارتباط به دلیل دزتراسیون والریان (Wallerian degeneration) تفسیر شود. تشکیل NFT در نواحی قشری مربوطه لوب تمپورال پیش‌نیاز ایجاد بیماری آزمایش است [۴۲]. در مطالعات مشابهی که در این زمینه انجام شده است یافته‌های حاصل از این مطالعه مانند افزایش نسبت mI/Cr در لب فرونتال گزارش شده است [۶۵] در صورتی که در برخی مطالعات تفاوتی در سطوح NAA/Cr و Cho/Cr و NAA/Cr در گزارش نشده است [۶۶].

از آنجایی که تشخیص سریع بیماری آزمایش یک هدف مهم است تصویربرداری عصبی به شکل فرایندهای در مطالعه و تشخیص بالینی بیماری آزمایش اهمیت پیدا کرده است. فناوری تصویربرداری عصبی رایج مورد استفاده برای بررسی تغییرات ساختاری و آسیب نورونی همراه با بیماری آزمایش در داخل بدن، MRI ساختاری است با این حال، تصاویر ساختاری از MRI معمولاً معکس‌کننده مراحل نسبتاً تاخیری از آسیب نورونی است و ممکن است برای شناسایی تغییرات نوروپاتولوژیک مناسب نباشد. طیف‌نگاری تشدید مغناطیسی پروتون ($^1\text{H}-\text{MRS}$) یک فناوری مهم برای بررسی عملکرد مغز انسان می‌باشد که می‌تواند سطوح متابولیت را اندازه‌گیری کند که معکس‌کننده درجه‌ی پاتولوژی در مغز قبل از تغییرات ساختاری است.

با در نظر گرفتن محدودیت‌های این مطالعه از جمله تعداد نمونه‌های کم و همچنین استفاده از مگنت ۱/۵ تسل‌کم می‌توان منجر به ایجاد پیک‌های طیف مناسب‌تری شود، در مطالعات بعدی می‌توان با اطمینان پیش‌تری در مورد تغییرات غیر متقارن متابولیت‌های نوروشیمیایی سخن گفت.

در این مطالعه به بررسی تغییرات زود هنگام متابولیت‌ها در فرایند بیماری آزمایش پرداختیم و دریافتیم که بهترین شاخص عدم تقارن هنگام مقایسه با NAA/mI، NAA/Cr و Cho/Cr در ناحیه قشر سینگولیت قدامی می‌باشد. به طور

[۵۲]. در یک مطالعه‌ی دیگر، سطح mI/Cr با مرحله‌ی بیماری آزمایش هم‌بستگی داشت در حالی که هیچ هم‌بستگی دیگری از NAA/Cr با مراحل پاتولوژیک اولیه بیماری آزمایش وجود نداشت. از این‌رو، تغییرات mI ممکن است پیش از تغییرات NAA در دمانس رخ دهد [۵۳]. همچنین ما مشاهده نکردیم که بیماران گروه کنترل عدم تقارن متابولیک در قشر سینگولیت قدامی نشان دهند. در مطالعه‌ی حاضر، سینگولیت به صورت جانبی آسیب‌دیده بود و قشر سینگولیت چپ زودتر از سمت راست آسیب‌دیده بود. مطالعات مبتنی بر مورفو‌پاتولوژی قبلی نشان داده‌اند که کاهش ماده‌ی خاکستری در اختلال شناختی خفیف و بیماری آزمایش در نیمکره‌ی چپ پیش‌تر بود [۵۷-۴۹، ۵۴] و علاوه بر این، الگوی نامتقارن کاهش ماده‌ی خاکستری در نیمکره‌ی چپ در نقص‌های شناختی مشارکت می‌کند [۵۸]. توسط روش‌های نوین نقشه‌برداری مغز، تامسون و همکاران یک موج کاهش ماده‌ی خاکستری منتشر دینامیک را در مغز بیماران دچار بیماری آزمایش شناسایی و نقشه‌برداری کردند. این الگوی آسیب در چهار جهت مجسم شد چنان‌که طی زمان از قشرهای تمپورال و لیمیک به نواحی فرونتال و اکسیپیتال گسترش یافت. این نقص‌های تغییرکننده نامتقارن بودند (نیمکره‌ی چپ < نیمکره‌ی راست) و با وضعیت شناختی پیش‌رونده هم‌بستگی داشت. میزان کاهش ماده‌ی خاکستری موضعی هم در نیمکره‌ی چپ نسبت به راست سریع‌تر گزارش شده است [۵۹]. نویگرول و همکاران قبلاً عدم تقارن‌های نیمکره‌ی راست-چپ در حجم سینگولیت (راست->چپ) را در بیماری آزمایش گزارش کرده بودند [۳۰] این عدم تقارن چپ-راست ممکن است به دلیل هیپوپریوژن مزمن [۶۱]، افزایش حساسیت به استرس [۶۲] یا پاتولوژی میکروواسکولار نیمکره‌ی چپ باشد [۶۳].

قشر سینگولیت قدامی در وظایف پیچیده مربوط به توجه و هوشیاری دخیل است و توجه و هوشیاری اولین حوزه‌ی غیر حافظه‌ای است که در بیماری آزمایش تحت تأثیر قرار می‌گیرد [۳۵]. یک مطالعه‌ی ساختاری نشان داد که قشر سینگولیت یک ناحیه‌ی هتروژن است که غنی از سلول‌های هرمی است [۳۶]. به طور جالبی، در آن مطالعه، کلاف‌های نوروفیبریلاری (NFTs)، یک نشانگر هیستوپاتولوژیک بیماری آزمایش، به صورت انتخابی درون نورون‌های هرمی در قشر رسوب کردند و توزیع تصادفی از خود نشان ندادند [۳۶]. مطالعات نوروپاتولوژیک نیز نشان داده‌اند که بیماران آزمایشی کاهش معنی‌داری را در سلول‌های هرمی در لایه‌های قشری III و V نواحی مربوطه نشان می‌دهند [۳۷] و همچنین کاهش آکسون‌های کولینرژیک و نورون‌های هرمی کولینورسپتیو

ageing: is Alzheimer disease an exaggerated aging process? AJNR Am J Neuroradiol 2001; 22: 1680-1685.

[16] Derflinger S, Sorgb C, Gaserc C, Myers N, Arsic M, Kurz A, et al. Grey-Matter Atrophy in Alzheimer's disease is Asymmetric but not lateralized. J Alzheimers Dis 2011; 25: 347-357.

[17] Shi F, Liu B, Zhou Y, Yu C, Jiang T. Hippocampal volume and asymmetry in mild cognitive impairment and Alzheimer's disease: Meta-analyses of MRI studies. Hippocampus 2009; 19: 1055-1064.

[18] Tumati S, Martens S, Aleman A. Magnetic resonance spectroscopy in mild cognitive impairment: systematic review and meta-analysis. Neurosci Biobehav Rev 2013; 37: 2571-2586.

[19] Kantarci K, Jack CR, Xu YC, Campeau NG, O'Brien PC, Smith GE, et al. Regional metabolic patterns in mild cognitive impairment and Alzheimer's disease: a 1H MRS study. Neurology 2000; 55: 210-217.

[20] Modrego PJ, Fayed N, Sarasa M. Magnetic resonance spectroscopy in the prediction of early conversion from amnestic mild cognitive impairment to dementia: a prospective cohort study. BMJ Open 2011; 1: e000007.

[21] Wang Z, Zhao C, Yu L, Zhou W, Li K. Regional metabolic changes in the hippocampus and posterior cingulate area detected with 3-Tesla magnetic resonance spectroscopy in patients with mild cognitive impairment and Alzheimer disease. Acta Radiol 2009; 50: 312-319.

[22] Kantarci K. 1H magnetic resonance spectroscopy in dementia. Br J Radiol 2007; 80: 146-152.

[23] Siger M, Schuff N, Zhu X, Miller BL, Weiner MW. Regional myo-inositol concentration in mild cognitive impairment using 1H magnetic resonance spectroscopic imaging. Alzheimer Dis Assoc Disord 2009; 23: 57-62.

[24] Mihara M, Hattori N, Abe K, Sakoda S, Sawada T. Magnetic resonance spectroscopic study of Alzheimer's disease and frontotemporal dementia/Pick complex. Neuroreport 2006; 17: 413-416.

[25] Lima TS, Honga YH, Leeb HY, Choi JY, Kim HS, Moon SY. Metabolite investigation in both anterior and posterior cingulate gyri in Alzheimer's disease spectrum using 3-tesla MR spectroscopy. Dement Geriatr Cogn Disord 2012; 33: 149-155.

[26] Bozzali M1, Padovani A, Caltagirone C, Borroni B. Regional grey matter loss and brain disconnection across Alzheimer disease evolution. Curr Med Chem 2011; 18: 2452-2458.

[27] Salat DH1, Chen JJ, van der Kouwe AJ, Greve DN, Fischl B, Rosas HD. Hippocampal degeneration is associated with temporal and limbic gray matter/white matter tissue contrast in Alzheimer's disease. Neuroimage 2011; 54: 1795-1802.

[28] Sperling RA, Aisen PS, Beckett LA, Bennett DA, Craft S, Fagan AM, et al. Toward defining the preclinical stages of Alzheimer's disease: recommendations from the National Institute on Aging-Alzheimer's Association work groups on diagnostic guidelines for Alzheimer's disease. Alzheimer's Dement 2011; 7: 280-292.

[29] Knopman DS, Boeve BF, Petersen RC. Essentials of the proper diagnoses of mild cognitive impairment, dementia, and major subtypes of dementia. Mayo Clin Proc 2003; 78: 1290-1308.

[30] Neugroschl J, Wang S. Alzheimer's disease: diagnosis and treatment across the spectrum of disease severity. Mt Sinai J Med 2011; 78: 596-612.

[31] Jones BF, Barnes J, Uylings H, Fox NC, Frost C, Witter MP, Scheltens P. Differential regional atrophy of the cingulate Gyrus in Alzheimer disease: a volumetric MRI study. Cereb Cortex 2006; 16: 1701-1708.

[32] Blair RC, Karniski W. An alternative method for significance testing of waveform difference potentials. Psychophysiology 1993; 30: 518-524.

[33] Killiany RJ, Gomez-Isla T, Moss M, Kikinis R, Sandor T, Jolesz F, et al. Use of structural magnetic resonance imaging to predict who will get Alzheimer's disease. Ann Neurol 2000; 47: 430-439.

[34] Fouquet M, Desgranges B, Landeau B, Duchesnay E, Mézenge F, de la Sayette V, et al. Longitudinal brain metabolic changes from amnestic mild cognitive impairment to Alzheimer's disease. Brain 2009; 132: 2058-2067.

[35] Mesulam MM, Nobre AC, Kim YH, Kim YH, Parrish TB, Gitelman DR. Heterogeneity of cingulated contributions to spatial attention. Neuro Image 2001; 13: 1065-1072.

[36] Smith AD. Imaging the progression of Alzheimer pathology through the brain. Proc Natl Acad Sci U S A 2002; 99: 4135-4137.

خلاصه این مطالعه نشان داد که الگوی غیرمتقارن تغییرات متابولیک که توسط طیف‌نگاری تشید مغناطیسی در ناحیه قشر سینگولیت قدامی چپ و راست کسب می‌شود می‌تواند نشانگر بیولوژیک مهمی در شناسایی بیماری آزارایر خفیف باشد.

تشکر و قدردانی

این مقاله منتج از طرح مصوب گروه فیزیک پزشکی دانشگاه علوم پزشکی مشهد به شماره ۹۸۰۴۸۸ می‌باشد. نویسنده‌گان این مقاله از جانب آقای دکتر طالبی متخصص روان‌پزشکی کلینیک ویژه بیمارستان امام رضا بابت همکاری در اجرای پروژه کمال تشکر را دارند.

منابع

- [1] Alzheimer's Association. Alzheimer's disease facts and figures. Alzheimer's Dement 2015; 11: 332-384.
- [2] Yan Y, Yang H, Xie Y, Ding Y, Kong D, Yu H. Research progress on Alzheimer's disease and resveratrol. Neurochem Res 2020; 107: 9-14.
- [3] de Oliveira FF, Bertolucci PH, Chen ES, de Arruda Cardoso Smith M. Pharmacological modulation of cognitive and behavioral symptoms in patients with dementia due to Alzheimer's disease. J Neurol Sci 2014; 336: 103-108.
- [4] Sperling RA, Aisen PS, Beckett LA, Bennett DA, Craft S, Fagan AM, et al. Toward defining the preclinical stages of Alzheimer's disease: recommendations from the National Institute on Aging-Alzheimer's Association work groups on diagnostic guidelines for Alzheimer's disease. Alzheimer's Dement 2011; 7: 280-292.
- [5] Chincarini A, Bosco P, Calvini P, Gemme G, Esposito M, Olivieri Ch, et al. Local MRI analysis approach in the diagnosis of early and prodromal Alzheimer's disease. Neuroimage 2011; 58: 469-480.
- [6] Liu Y, Paajanen T, Zhang Y, Westman E, Wahlund LO, Simmons A, et al. Analysis of regional MRI volumes and thicknesses as predictors of conversion from mild cognitive impairment to Alzheimer's disease. Neurobiol Aging 2010; 31: 1375-1385.
- [7] Risacher SL, Saykin AJ. Neuroimaging and other biomarkers for Alzheimer's disease: the changing landscape of early detection. Annu Rev Clin Psychol 2013; 9: 621-648.
- [8] Bayer AJ. The role of biomarkers and imaging in the clinical diagnosis of dementia. Age Ageing 2018; 47: 641-643.
- [9] Li TQ, Wahlund LO. The search for neuroimaging biomarkers of Alzheimer's disease with advanced MRI techniques. Acta Radiol 2011; 52: 211-222.
- [10] Targosz-Gajniak MG, Siuda JS, Wicher MM, Banasik TJ, Bujak MA, Augustciak-Duma AM, Opala G. Magnetic resonance spectroscopy as a predictor of conversion of mild cognitive impairment to dementia. J Neurol Sci 2013; 335: 58-63.
- [11] Gao F, Barker PB. Various MRS application tools for Alzheimer disease and mild cognitive impairment. Am J Neuroradiol 2014; 35: S4-11.
- [12] Menezes TL, Andrade-Valona LPA, Valona MM. Magnetic resonance imaging study cannot individually distinguish individuals with mild cognitive impairment, mild Alzheimer's disease, and normal aging. Arq Neuropsiquiatr 2013; 71: 207-212.
- [13] Watanabe T, Shiino A, Akiguchi I. Hippocampal metabolites and memory performances in patients with amnestic mild cognitive impairment and Alzheimer's disease. Neurobiol Learn Mem 2012; 97: 289-293.
- [14] Frisoni GB, Testa C, Zorzan A, Sabattoli F, Beltramello A, Soininen H, Laakso MP. Detection of grey matter loss in mild Alzheimer's disease with voxel based morphometry. J Neurol Neurosurg Psychiatry 2002; 73: 657-664.
- [15] Ohnishi T, Matsuda H, Tabira T, Asada T, Uno M. Changes in brain morphology in Alzheimer disease and normal

- [52] Kantarci K, Jack CR Jr, Xu YC, Campeau NG, O'Brien PC, Smith GE, et al. Regional metabolic patterns in mild cognitive impairment and Alzheimer's disease: A 1H MRS study. *Neurology* 2000; 55: 210-217.
- [53] Kantarci K, Knopman DS, Dickson DW, Parisi JE, Whitwell JL, Weigand SD, et al. Alzheimer disease: postmortem neuropathologic correlates of antemortem 1H MR spectroscopy metabolite measurements. *Radiology* 2008; 248: 210-220.
- [54] Karas GB, Scheltens P, Rombouts S, Visser PJ, van Schijndel RA, Fox NC, Barkhof F. Global and local gray matter loss in mild cognitive impairment and Alzheimer's disease. *Neuroimage* 2004; 23: 708-716.
- [55] Karas GB, Burton EJ, Rombouts SA, van Schijndel RA, O'Brien JT, Scheltens Ph, et al. A comprehensive study of gray matter loss in patients with Alzheimer's disease using optimized voxel-based morphometry. *Neuroimage* 2003; 18: 895-907.
- [56] Thompson PM, Mega RS, Woods RP, Zoumalan CI, Lindshield CJ, Blanton RE, et al. Cortical change in Alzheimer's disease detected with a disease-specific population-based brain atlas. *Cereb Cortex* 2001; 11: 1-16.
- [57] Baron JC, Chetelat G, Desgranges B, G Perchey, Landeau B, de la Sayette V, Eustache F. In vivo mapping of gray matter loss with voxel-based morphometry in mild Alzheimer's disease. *Neuroimage* 2001; 14: 298-309.
- [58] Sabine D, Christian S, Christian G, Myers N, Arsic M, Kurz A, et al. Grey-Matter atrophy in Alzheimer's disease is asymmetric but not lateralized. *J Alzheimers Dis* 2011; 25: 347-357.
- [59] Thompson PM, Hayashi KM, de Zubiray G, Janke AL, Rose SE, Semple J, et al. Dynamics of gray matter loss in Alzheimer's disease. *J Neurosci* 2003; 23: 994-1005.
- [60] Janke AL, de Zubiray G, Rose SE, Griffin M, Chalk JB, Galloway GJ. 4D deformation modeling of cortical disease progression in Alzheimer's dementia. *Magn Reson Med* 2001; 46: 661-666.
- [61] Ott BR, Heindel WC, Tan Z, Noto RB. Lateralized cortical perfusion in women with Alzheimer's disease. *J Gend Specif Med* 2000; 3: 29-35.
- [62] Smith ME. Bilateral hippocampal volume reduction in adults with post-traumatic stress disorder: a meta-analysis of structural MRI studies. *Hippocampus* 2005; 15: 798-807.
- [63] Giannakopoulos P, Kovari E, Herrmann FR, Hof PR, Bouras C. Interhemispheric distribution of Alzheimer disease and vascular pathology in brain aging. *Stroke* 2009; 40: 983-986.
- [64] Abedelahi A, Hasanzadeh Namaghi H, Hadizadeh Khrizi H, Joghataie MT, Negahdar F, Shakeri N. A morphometric magnetic resonance imaging study of age and gender-related volumetric changes of putamen nucleus in healthy humans. *Koomesh* 2010; 11: 231-239. (Persian).
- [65] Chen Q, Boeve BF, Tosakulwong N, Lesnick T, Brushaber D, Dheer C, et al. Frontal lobe 1H MR spectroscopy in asymptomatic and symptomatic MAPT mutation carriers. *Neurology* 2019; 93: 758-765.
- [66] Yeh YC, Li CW, Kuo YT, Huang MF, Liu TL, Jaw TS, et al. Association between altered neurochemical metabolites and apathy in patients with Alzheimer's disease. *Int Psychogeriatr* 2018; 30: 761-768.
- [37] Brun A, Englund E. Regional pattern of degeneration in Alzheimer's disease: neuronal loss and histopathological grading. *Histopathology* 1981; 5: 549-564.
- [38] Mesulam MM. A plasticity-based theory of the pathogenesis of Alzheimer's disease. *Ann NY Acad Sci* 2000; 924: 42-52.
- [39] Thal DR, von Arnim C, Griffin WS, Yamaguchi H, Mrak RE, Attems J, Upadhyaya AR. Pathology of clinical and preclinical Alzheimer's disease. *Eur Arch Psychiatry Clin Neurosci* 2013; 2: S137-145.
- [40] Braak H, Zetterberg H, Del Tredici K, Blennow K. Intraneuronal tau aggregation precedes diffuse plaque deposition, but amyloid- β changes occur before increases of tau in cerebrospinal fluid. *Acta Neuropathol* 2013; 126: 631-641.
- [41] Arriagada PV, Marzloff K, Hyman BT. Distribution of Alzheimer-type pathologic changes in nondemented elderly individuals matches the pattern in Alzheimer's disease. *Neurology* 1992; 42: 1681-1688.
- [42] Giannakopoulos P, Hof PR, Michel JP, Guimon J, Bouras C. Cerebral cortex pathology in aging and Alzheimer's disease: a quantitative survey of large hospital-based geriatric and psychiatric cohorts. *Brain Res Brain Res Rev* 1997; 25: 217-245.
- [43] Rami L, Gómez-Ansón B, Bosch B, Sánchez-Valle R, Monte GC, Villar A, Molinuevo JL. Cortical brain metabolism as measured by proton spectroscopy is related to memory performance in patients with amnestic mild cognitive impairment and Alzheimer's disease. *Dement Geriatr Cogn Disord* 2007; 24: 274-279.
- [44] Tumatia S, MartensaS, Alemana A. Magnetic resonance spectroscopy in mild cognitive impairment: Systematic review and meta-analysis. *Neurosci Biobehav Rev* 2013; 37: 2571-2586.
- [45] Good CD, Johnsrude I, Ashburner J, Henson RN, Friston KJ, Frackowiak RS. Cerebral asymmetry and the effects of sex and handedness on brain structure: a voxel-based morphometric analysis of 465 normal adult human brains. *Neuroimage* 2001; 14: 685-700.
- [46] Luders E, Gaser C, Jancke L, Schlaug G. A voxel-based approach to gray matter asymmetries. *Neuroimage* 2004; 22: 656-664.
- [47] Watkins KE, Paus T, Lerch JP, Zijdenbos A, Collins DL, Neelin P, et al. Structural asymmetries in the human brain: a voxel-based statistical analysis of 142 MRI scans. *Cereb Cortex* 2001; 11: 868-877.
- [48] Luders E, Narr KL, Thompson PM, Rex DE, Jancke L, Toga AW. Hemispheric asymmetries in cortical thickness. *Cereb Cortex* 2006; 16: 1232-1238.
- [49] Kim JH, Lee JW, Kim GH, Roh JH, Kim MJ, Seo SW, et al. Cortical asymmetries in normal, mild cognitive impairment, and Alzheimer's disease. *Neurobiol Aging* 2012; 33: 1959-1966.
- [50] Carter SF, Schöll M, Almkvist O, Wall A, Engler H, Långström B, Nordberg A. Evidence for astrocytosis in prodromal Alzheimer disease provided by 11C-Deuterium-L-Deprenyl: a multitracer PET paradigm combining 11C-pittsburgh compound B and 18F-FDG. *J Nucl Med* 2012; 53: 37-46.
- [51] Kantarci K, Lowe V, Przybelski SA, Senjem ML, Weigand SD, Ivnik RJ, et al. Magnetic resonance spectroscopy, β -amyloid load, and cognition in a population-based sample of cognitively normal older adults. *Neurology* 2011; 77: 951-958.

Application of magnetic resonance spectroscopy for evaluating metabolic alteration in anterior cingulate cortex in Alzheimer's disease

Erfan Saatchian (M.Sc)^{2,1}, Sina Ehsani (M.Sc)^{2,1}, Alireza Montazerabadi (Ph.D)^{*2,1}

1 - Medical Physics Research Center, Mashhad University of Medical Sciences, Mashhad, Iran

2 - Dept. of Medical Physics, School of Medicine, Mashhad University of Medical Sciences, Mashhad, Iran

* Corresponding author. +98 51 38002325 alireza.motazerabadi@gmail.com

Received: 27 Jan 2020; Accepted: 17 May 2020

Introduction: Alzheimer's disease (AD) is the most common cause of dementia worldwide. Mild cognitive impairment (MCI) is often the prodromal stage to AD. Most patients with MCI harbor the pathologic changes of AD and demonstrate transition to AD at a rate of 10–15% per year. Accumulating evidence indicates that the asymmetry changes of left and right brain have happened in the early stage of AD. However, the features of asymmetry changes in anterior cingulate cortex (ACC) is still unclear.

Materials and Methods: We examined the left-right asymmetry changes of metabolites in ACC. In this account, 14 cases of mild AD patients meeting criteria for probable AD of NINDS-ADRDA, 12 cases of MCI according to the Mayo Clinic Alzheimer's Disease Research Center criteria, and 15 cases of age-matched normal controls (NC) received Proton magnetic resonance spectroscopy (1H-MRS) for measurement of NAA/mI, NAA/Cr, Cho/Cr, and mI/Cr ratios in the ACC bilaterally. We analyzed MRS data by paired t-test to validate the left-right asymmetry of MRS data in the ACC.

Results: In AD, there was a significant difference in mI/Cr between the left and right ACC ($P<0.001$). In MCI, there was a significant difference in mI/Cr between the left and right ACC ($P<0.001$). In NC, there were no differences in the ratio value of metabolites NAA/mI, NAA/Cr, Cho/Cr, and mI/Cr between the left and right ACC.

Conclusion: The left-right asymmetry of mI/Cr in the ACC may be an important biological indicator of mild AD.

Keywords: Magnetic Resonance Spectroscopy, Alzheimer Disease, Cognitive Dysfunction